

تأثير السمك والتلدين على المعلمات البصرية

لاجشية اوكسيد الخارصين المحضرة بطريقة

التحلل الكيميائي الحراري

آمال احمد خلف

الجامعة المستنصرية /كلية التربية

الخلاصة :

حضرت اغشية رقيقة من اوكسيد الخارصين على قواعد من زجاج البوروسليكات بتقنية التحلل الكيميائي الحراري . وتم دراسة الخواص البصرية باختلاف السمك وتم معاملتها بدرجات حرارة مختلفة .

ان الثوابت البصرية قد درست بالاعتماد على اطيف الامتصاصية والنفاذية لهذه الاغشية في مدى الاطوال الموجية (400-900 nm) وتم حساب الثوابت البصرية الاتيه : معامل الامتصاص , الانعكاسية , معامل الخمود , معامل الانكسار وثابت العزل الكهربائي الحقيقي والخيالي والايصالية الضوئية.

المقدمة:

للاجشية الرقيقة اهمية واستعمالات كثيرة في العديد من انواع هندسة الانظمة وخطوات واسعة في تقدم تقنيات التطوير السريع المصغر مثل الدوائر الالكترونية الكاملة وان الحاجة للاغشية الرقيقة من المستوى العالي جدا للانتاج متميز الخصائص قاد الى تطور سريع في فيزياء التراكيب المادية الذي يدخل في صناعة الطلاءات السطحية لحماية المواد الهيكلية في درجات حرارية عالية وتدخل في تقنيات هائلة تجارية مثل محركات الدفع الغازي . تعتبر الاغشية الرقيقة عنصر مكمل للعديد من الانظمة الكهروميكانيكية الدقيقة المصممه للعمل كمحسسات او مشغلات او مكتشفات الكترونيه , ودخلت في مكبرات الصوت في سماعات الاذن وكذلك تطورت بوضع رقائق الكترونية في مرايا على مساند انظمة بصرية ومسابر لاكتشاف درجة نضج الثمار .^[1]

يعد اوكسيد الخارصين (ZnO) النقي مركب صلب أبيض اللون، يصفر عند التسخين وهو مادة غير سامة ، لا يذوب في الماء والكحول وانما يذوب في الحوامض ، لذا فهو اوكسيد أمفوتيري^[2]

تأثير السمك والتلدين على المعلمات البصرية لآغشية اوكسيد الخارصين المعضرة بطريقة التحلل الكيميائي الحراري

تعد اكاسيد التوصيل الشفافة (TCOs) Transparent Conducting Oxides من اهم اشباه الموصلات وهي عبارة عن اشباه موصلات مركبة مكونه من معدن متحد مع الاوكسجين مثلها ، ZnO , SnO_2 وتتميز بارتفاع توصيليتها ونفاذيتها البصرية [4,3] مما جعلها تاخذ مكانا بارزا في البحوث النظرية والتطبيقية لفيزياء الحالة الصلبة فقد استعملت في طلاءات النوافذ والمرايا الحرارية واجهزة الموجات السمعية وغيرها . [6,5] يمتاز الغشاء الرقيق المحضر من مركب اوكسيد الخارصين بامتلاكه فجوة طاقة عالية تبلغ $(3.2)eV$ عند درجة حرارة $300^{\circ}K$ لذلك اتاحت دخوله في استعمالات عديدة منها [7]، الخلايا الشمسية Solar Cells، محولات الطاقة الاجهادية، المرايا الحرارية (Heating Mirrors)، المقاومات المتغيرة، خطوط المايكروف و اجهزة متحسسات الغازات (Gas. Sensors) وميزة اخرى لـ ZnO هي الاستقرار الكيميائي (Chemical Stability) في وجود بلازما الهيدروجين (Hydrogen Plasma) التي مكنته من الدخول في صناعة الخلايا السيليكونية العشوائية (Amorphous Silicon Solar Cells) التي تحضر باستخدام البلازما [7]. يهدف البحث الحالي الى دراسة الخصائص البصرية لآغشية اوكسيد الخارصين مختلفة السمك وتحت تأثير المعاملة الحرارية (التلدين) المحضر بطريقة التحلل الكيميائي الحراري .

العمل التجريبي :-

تم تحضير آغشية ZnO حيث استخدمت محلول كلوريد الزنك اللامائي ($ZnCl_2$) وهي مادة صلبة ذات لون ابيض وزنها الجزيئي ($136.299g$) حيث يتم وزن ($136.299g$) من مادة كلوريد الزنك وبمولاريه (0.1) واذابتها في حجم ($100 ml$) من الماء المقطر .ولضمان الذوبان التام المحلول يستخدم خلاط مغناطيسي (Magnetic Stirrer) ثم يترك المحلول لفترة زمنية مناسبة للتأكد من عدم وجود أي رواسب مع ضمان تبريد المحلول قبل الترسيب كي نمنع التحلل السريع لمكوناته ، ثم يوضع المحلول الناتج في جهاز الترسيب ويرش المحلول على قواعد زجاجيه ساخنه بدرجة ($450^{\circ}C$) ويفعل الحرارة تتبخر الغازات ويترسب غشاء اوكسيد الخارصين على القاعدة، ذات لون اصفر اثناء التكوين يميل إلى اللون الابيض عند التبريد، والأغشية الناتجة شفافة ومستقرة وذات قوة التصاق عالية . تم تسجيل طيفي الامتصاصية والنفاذية باستخدام (UV-Spectrophotometer) جهاز المطياف الضوئي نوع ($1650-1700$) من شركة شيمادزو اليابانية لمدى الاطوال الموجيه ($400-900$) nm ولقياس سمك الاغشية استخدمت الطريقة الوزنيه وقد كانت الاسماك ($0.4,0.5 \mu m$)

المعاملة الحرارية - التلدين Annealing Process

ان عملية تعريض الغشاء لدرجة حراريه معينه ولفتره زمنية محده تدعى بالمعاملة الحراريه وقد تجرى هذه العملية بالفراغ او بوجود الغازات او الهواء وتؤثر عملية التلدين على التركيب البلوري

تأثير السمك والتلدين على المعلمات البصرية لانتقائية اوكسيد الزنك المعضرة بطريقة التحلل الكيميائي الحراري

والانتقالات الالكترونية وتؤدي الى تقليل المستويات الموضوعية في المواد البلورية . اما في المواد البلورية فانها تقلل من العيوب البلورية حيث انها تمنح الذرات الطاقة الحركية اللازمه لاعادة ترتيب نفسها في الشبيكة البلورية ونحن استعملنا فرنا كهربائيا من نوع (L7C-Manfredi) ايطالي المنشأ وتصل درجة حرارته اكثر من 800°C بوجود الهواء الجوي وقد تم تلدين الغشاء بدرجات حراريه $(580,610)^{\circ}\text{C}$ ولمدة ساعتين ثم يترك الغشاء داخل الفرن الى ان يبرد و تم تسجيل طيفي الامتصاصية والنفاذية باستخدام مطياف لمدى الطيف (400-900 nm) قبل التلدين وبعده .

النتائج والمناقشة:-

يتأثر طيف الاشعة السينية كثيرا اعتمادا على الظروف التحضيرية وبالأخص درجة حرارة قاعدة الترسيب لما لها اثر في اكمال النمو البلوري ويتاثر بنوعيتها المستخدمه ، وبما ان تقنية البحث كانت التحلل الكيميائي الحراري فان سرعة تبريد القاعدة عند الترسيب يؤثر سلبيا في التبلور وكذلك نوع القاعدة المستخدمه للترسيب . وفي هذا البحث تم دراسة حيود الاشعة السينية لعينة حضرت بدرجة حرارة 450°C وتبين ان جميع الاغشية ذات تركيب متعدد التبلور ومن النوع السداسي مع نمو جيد في الاتجاهية [002] وهذا يتفق مع [7,8] وكما موضح من الاشكال (1) (2) (3)

يمكن ايجاد العديد من الثوابت البصرية من خلال دراسة طيف الامتصاصية لمديات واسعة من الاطوال الموجية حيث تتأثر امتصاصية المواد بعدد من العوامل مثل السمك ، وطول موجة الاشعاع الساقط ولون المادة . والشكل (4) يمثل تغيير طيف الامتصاصية كدالة لطول الموجي باختلاف السمك وقد بينت الحسابات ان الامتصاصية تقل مع زيادة الطول الموجي للاغشية كافه ويعني هذا فيزيائياً ان الفوتون الساقط لم يستطع ان يهيج الإلكترون وينقله من حزمة التكافؤ إلى حزمة التوصيل لان طاقة الفوتون الساقط اقل من قيمة فجوة الطاقة لشبه الموصل ولهذا أصبحت الامتصاصية تقل حيث نلاحظ ان الغشاء المحضر يمتاز بامتصاصية في الاطوال الموجية القصيرة وان طيف الامتصاصية يقع ضمن المنطقة المرئية وبعدها نلاحظ نقصانه بزيادة الطول الموجي بعد هذه المنطقة اما الشكل يظهر ان الاغشية تزداد امتصاصيتها مع زيادة سمك الغشاء . والشكل (5) يمثل تغيير طيف الامتصاصية كدالة لطول الموجي باختلاف درجة حرارة التلدين حيث ان الامتصاصية تزداد بالتلدين ، يظهر منحنى النفاذية كما في الشكل (6) حيث يبدي زيادة مفاجئة وقوية عند الطول الموجي (450 nm) ثم يميل الى التثبع بعد ذلك مما يدل على ان هذه الاغشية تصلح كنافذة بصرية (Window Gap) للخلايا الشمسية لان المنطقة الطيفية الفعالة في الخلايا الشمسية تقع في المنطقة المرئية من الطيف الكهرومغناطيسي ونلاحظ نقصان النفاذية بزيادة سمك الغشاء واما الشكل (7) يوضح النفاذية كدالة لطول الموجي قبل وبعد التلدين حيث تقل النفاذية بزيادة درجة

تأثير السمك والتلدين على المعلمات البصرية لأغشية اوكسيد الزنك المعضرة بطريقة التحلل الكيميائي الحراري امال احمد خلفه

الحرارة ..وقد تم حساب معامل الامتصاص (α -Absorption Coefficient) في منطقته الامتصاص الاساسيه باستخدام علاقه الاتيه [8]:

$$\alpha = 2.303 A / t \quad \dots(1)$$

اذ تمثل A:امتصاصيه الغشاء t : سمك الغشاء

يبين الشكل (8) تغير معامل الامتصاص كدالة لطاقة الفوتون الساقط لأغشية ZnO بأختلاف السمك وكانت قيم معامل الامتصاص ($\alpha > 10^4 \text{Cm}^{-1}$) كما يدل على احتمالية كبيرة للانتقالات الالكترونية وان الطاقات العالية التي حسبت عندها هذه القيم هي فجوة الطاقة ، ان معامل الامتصاص يكون قليل عند الطاقات الفوتونية الواطنة وفيها تكون احتمالية الانتقالات الالكترونية قليلة وترداد قيم معامل الامتصاص عند حافة الامتصاص باتجاه الطاقات العالية ويتاثر معامل الامتصاص بزيادة السمك وذلك لعلاقتهم العكسية. اما بعد اجراء التلدين لاحظنا ان معامل الامتصاص يزداد بزيادة درجات الحرارة مما يدل على زيادة التبلور وتقليل العيوب البلورية وهذا ما يوضحه الشكل (9) وتم حساب فجوة الطاقة الممنوعة للانتقالات المباشرة المسموحه اي فجوة الطاقة الواقعه بين قمة حزمه التكافؤ وقعر حزمة التوصيل عند المتجه الموجي ($K=0$) باستخدام المعادلة الآتية [9]

$$(\alpha h\nu)^2 = A^2 (h\nu - E_g) \quad \dots (2)$$

الشكل (10) يمثل المنحني المرسوم بين $(\alpha h\nu)^2$ وطاقة الفوتون لاغشيه ZnO المختلفة السمك وبمد الجزء المستقيم من المنحني ليقطع محور طاقة الفوتون عند النقطة ($0 = (\alpha h\nu)^2$) نحصل على قيمه فجوه الطاقه الممنوعه للانتقال المباشر المسموح ونلاحظ ان قيم (E_g) تقل بزيادة سمك الغشاء. وهذا النقصان يمكن تفسيره بان زيادة سمك الغشاء ادت الى زيادة عدد التصادمات الفوتون مع المادة وبذلك سوف تمتص المادة بشكل اكبر مما يؤدي الى نقصان فجوة الطاقة . اما شكل (11) يوضح فجوة الطاقة الممنوعة للانتقال المباشر المسموح بعد التلدين حيث يبين ان فجوة الطاقة سوف تقل بازدياد درجات الحرارة ويعزى سبب ذلك الى تكوين المستويات الموضعية بالقرب من حزمة التوصيل وتكون مهياًه لاستقبال الالكترونات وتوليد ذبول في فجوة الطاقة والتي تعمل بدورها الى تقليل فجوة الطاقة وتم حساب فجوة الطاقة الممنوعة للانتقالات المباشرة الممنوعه باستخدام العلاقه :

$$(\alpha h\nu)^{2/3} = A^{2/3} (h\nu - E_g) \quad \dots (3)$$

برسم العلاقه بين $(\alpha h\nu)^{2/3}$ وطاقة الفوتون ($h\nu$) ومد الجزء المستقيم من المنحني ليقطع محور طاقة الفوتون عند النقطة [$(\alpha h\nu)^{2/3} = 0$] نحصل على قيمة فجوة الطاقة الممنوعة للانتقال المباشر الممنوع لاغشيه (ZnO)

تأثير السمك والتلدين على المعلمات البصرية لاجشية اوكسيد الخارصين المعضرة بطريقة التحلل الكيميائي الحراري امال احمد خلفه

الشكل (12) يمثل المنحني المرسوم بين $(\alpha hf)^{2/3}$ وطاقة الفوتون لاجشيه ZnO المختلفة السمك .
الشكل (13) يمثل فجوة الطاقة للانتقال المباشر الممنوع بعد التلدين في الحالتين هناك نقصان في فجوة الطاقة .

وتم حساب فجوة الطاقة E_g' للانتقال الغير المباشر المسموح اعتماداً على المعادلة الآتية
حيث E_p طاقة الفونون .

$$(\alpha h\nu)^{1/2} = A^{1/2} (h\nu - E_g' \pm E_p) \dots\dots(4)$$

وبرسم العلاقة بين $(\alpha h\nu)^{1/2}$ وطاقة الفوتون $(h\nu)$ لغشاء اوكسيد الخارصين، نلاحظ وجود جزئين مستقيمين كما في الشكل (14) لاختلاف السمك والشكل (15) بعد عملية التلدين

جدول (1) قيم فجوة الطاقة الممنوعه للانتقالات الالكترونيه للاجشية المختلفة السمك

السمك μm	E_g (ev) مباشر مسموح	E_g (ev) مباشر ممنوع	E_g (ev) غير مباشر مسموح	E_p (ev) طاقة الفونون
0.4	2.95	2.85	1.82	0.68
0.5	2.9	2.7	1.75	0.75

جدول (2) قيم فجوة الطاقة البصرية في الانتقالات الالكترونيه لاجشية (ZnO) قبل وبعد التلدين

درجة الحرارة C°	E_g (ev) المباشر المسموح	E_g (ev) المباشر الممنوع	E_g (ev) غير المباشر المسموح	E_p (ev) طاقة الفونون
450	2.9	2.7	1.82	0.68
580	2.85	2.65	1.7	0.7
610	2.75	2.6	1.4	0.85

وتم حساب الانعكاسية (R) من العلاقة: [10]

$$A+T+R=1 \dots\dots\dots(5)$$

والشكل (16) يبين تغير الانعكاسية (R) كدالة لطاقة الفوتون باختلاف السمك اذ نلاحظ ان الانعكاسية تزداد بزيادة طاقة الفوتون وان اختلاف السمك ادى الى تغيير قيم الانعكاسية وقد بينت النتائج ان الانعكاسية تزداد بزيادة سمك الغشاء اذ ان اختلاف السمك اثر في التركيب البلوري لمادة الغشاء وغير طبيعة سطوح الاغشية وكذلك بزيادة درجات حرارة التلدين وهذا موضح بالشكل (17).

وتم حساب معامل الخمود (K_o) للاجشية المعضرة من المعادلة الآتية [11]

$$K_o = \alpha \lambda / 4\pi \dots\dots\dots(6)$$

حيث ان λ الطول الموجي للشعاع الساقط والشكل (18) يبين تغير معامل الخمود مع طاقة الفوتون لجميع الاسماك وجد ان معامل الخمود يزداد بزيادة طاقة الفوتون ونستطيع ملاحظ التشابه في طبيعة منحني معامل الخمود مع منحني معامل الامتصاص اذ ان التشابه ناتج عن اعتماد قيم معامل الخمود على قيم معامل الامتصاص ويتاثر معامل الخمود بزيادة سمك الغشاء لعلاقته مع معامل الامتصاص بينما يزداد بزيادة درجة حرارة التلدين كما في الشكل (19)

تم حساب معامل الانكسار (n_0) وفق المعادلة [12]

$$n_0 = \left\{ \frac{(1+R)^2}{(1-R)^2} - (K_0^2 + 1) \right\}^{1/2} + \frac{(1+R)}{(1-R)} \quad \dots (7)$$

الشكل (20) يبين تغير معامل الانكسار مع طاقة الفوتون يزداد معامل الانكسار بصورة تدريجية تبعاً لزيادة طاقة الفوتون باختلاف السمك ، إن طبيعة منحنى معامل الانكسار مشابهة لطبيعة منحنى الانعكاسية وذلك لارتباط الانعكاسية مع معامل الانكسار وان اعلى قيمة تكون مقاربة لفجوة الطاقه ونلاحظ زيادة قيم معامل الانكسار بزيادة السمك وكذلك بزيادة درجات حرارة التلدين كما في الشكل (21) وهذا يعزى الى زيادة قيم الانعكاسية.

تم حساب ثابت العزل الحقيقي (ϵ_1) من المعادلة [13]

$$\epsilon_1 = n_0^2 - k_0^2 \quad \dots (8)$$

الشكل (22) يبين تغير ثابت العزل الكهربائي الحقيقي مع طاقة الفوتون باختلاف السمك اذ نلاحظ ان سلوك المنحني يشبه الى حد سلوك منحنى معامل الانكسار ونلاحظ ان تأثير معامل الخمود قليل جدا مقارنة بتأثير معامل الانكسار ويمكن اهماله خاصة عند الطاقات الفوتونية الواطئة اما عند زيادة السمك نلاحظ ان طبيعة منحنى ثابت العزل الحقيقي بصورة عامه لم يتغير شكلا ويعزى ذلك الى ارتباط الجزء الحقيقي لثابت العزل الكهربائي بمعامل الانكسار . ونلاحظ ان ثابت العزل الحقيقي يزداد بزيادة سمك الغشاء والشكل (23) يوضح ثابت العزل الكهربائي الحقيقي بعد عملية التلدين حيث قيمه تزداد بزيادة درجة الحرارة . تم حساب ثابت العزل الكهربائي الخيالي من المعادلة [14]

$$\epsilon_2 = 2 n_0 k_0 \quad \dots (9)$$

فيوضح الشكل (24) يبين تغير ثابت العزل الكهربائي الخيالي مع طاقة الفوتون باختلاف السمك ونلاحظ تشابهه طبيعة تغيير بين الجزء الخيالي ومعامل الخمود حسب العلاقة التي بموجبها تم حساب قيم الجزء الخيالي لثابت العزل الكهربائي حيث يكون تأثير معامل الانكسار صغيرا جدا فيهمل . اذ ان قيمة ثابت العزل الخيالي تتاثر مع زيادة سمك الغشاء اما بالتلدين فان قيمه تزداد بازدياد درجات الحرارة كما في الشكل (25) لعلاقته بمعامل التوهين .

و تم حساب التوصيلية الضوئية وفقا للعلاقة [15]

$$\delta = \alpha n_0 C / 4\pi \quad \dots (10)$$

حيث C : سرعة الضوء في الفراغ .

الشكل (26) يبين تغير التوصيلية الضوئية مع طاقة الفوتون ونلاحظ نأثر قيم التوصيلة بزيادة طاقة الفوتون باختلاف السمك لاعتمادها على معامل الامتصاص . وانها تزداد بزيادة درجات الحرارة عند التلدين كما موضح بالشكل (27) ويعزى السبب ان عملية التلدين ولدت مستويات موضعية داخل فجوة الطاقه البصرية ادت الى نقصان في قيمة فجوة الطاقة وهذه المستويات عملت كمستويات مساعده لانتقال الاكترونات من حزمة التكافؤ الى حزمة التوصيل مما أدى الى زيادة التوصيلية الضوئية .

1- يتبين من نتائج والفحوصات التركيبية لاجشية اوكسيد الخارصين المحضرة بطريقة التحلل الكيميائي الحراري ولكافة الاسماك ولكافة درجات الحرارة وضمن ظروف التحضير المنتخبة انها ذات تركيب متعدد التبلور .

2- ان زيادة السمك ادى الى زيادة في قيم الانعكاسيه (R) ومعامل الانكسار (n_0) والجزء الحقيقي لثابت العزل الكهربائي.

3- بما ان زيادة معامل الامتصاص هي زيادة بطيئة عند الطاقات الفوتونية الواطئة ، اي انه بالامكان استخدام اوكسيد الخارصين كطلاء مضاد للانعكاسية ضمن الطاقات الفوتونية الواطئة

4-تمتلك الاجشية المحضرة ضمن الظروف المنتخبة انتقالات الكترونيه مباشره مسموحه وممنوعه وغير مباشره مسموحه .

5- ان التلدين ادى الى نقصان في قيمة فجوة الطاقة البصرية .

6- ان التلدين ادى الى زيادة في قيم الانعكاسيه (R) ومعامل الانكسار (n_0) والجزء الحقيقي لثابت العزل الكهربائي.(1ع)

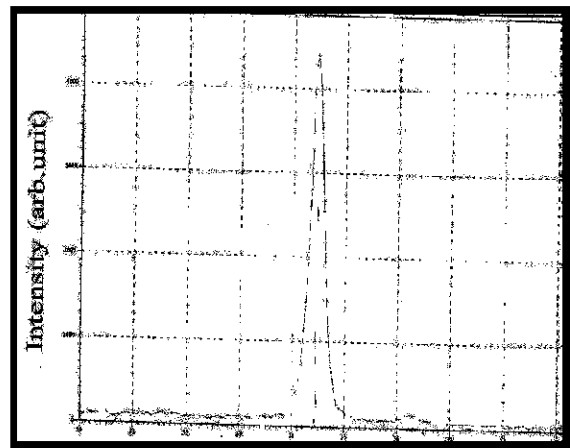
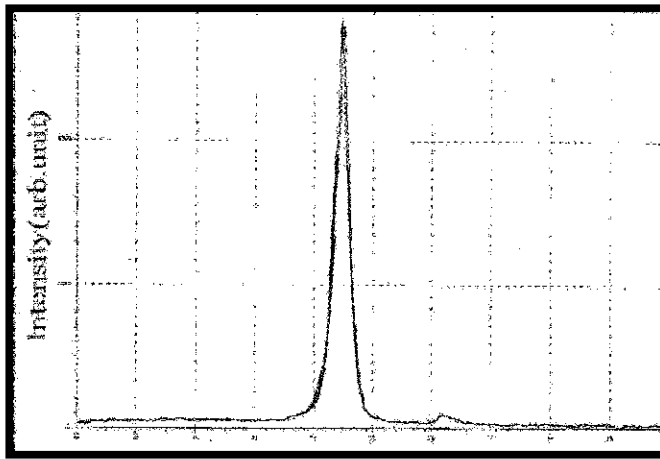
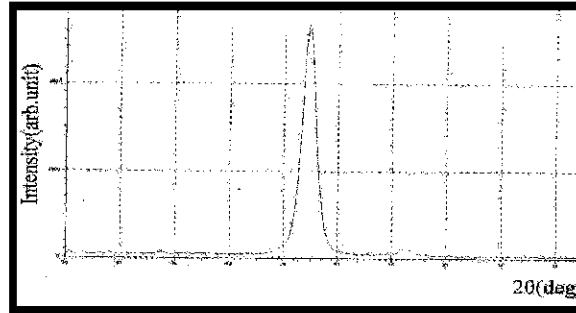
7- ادى التلدين الى زيادة في قيم معامل الخمود (k_0) والتوصيليه الضوئية (σ) والجزء الخيالي لثابت العزل الكهربائي (2ع)

8- ادى التلدين الى تحسين الصفات البصرية وذلك لزيادة قيمة الامتصاص.

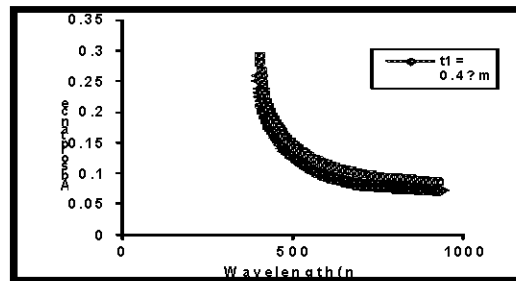
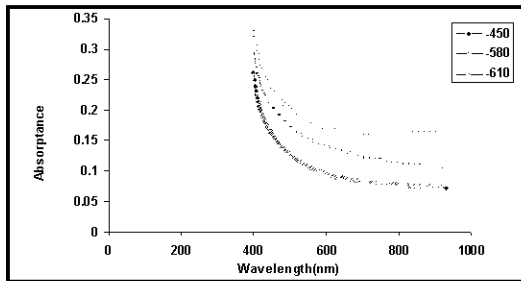
المصادر

- [1]L. B. Freund,Division of Engineering Brown UniversityThin Film Materials (January 12, 2003)
- [2] Roth, D.Williams "Properities of ZnO Films Prepared By Oxidation of Diethylzinc"J.Appl.phys.vol. (52)NO.(11)(1981), P6685.
- [3] Schropp, A.Madan " Properities of conductive ZnO Films for Transparent Electrds Applications Prepared By Rf Magnetron Sputtering" J.Appl. phys. vol.(66) No.(5)(1989),p.2027.
- [4] S.Studeuikin, N.Golego, M.Cocivera," Carrier Mobility And Density Cntributions to photoconductivity Transients in polycrystalline ZnO films" J.Apple.phys. vol.(87) No.(5) (2000), p, 2413.
- [5] Eboth, A.Hichou and M.Addam," Flow Rate and interface Roughness of Zinc Oxide Thin films Deposition by Spray Pyrolysis Technique "J.Appl. phys. Vol.(93) No.(1)(2003), P.632.
- [6] M. Suche, S. Christoulakis, M. Kath Avakis, N.Kats Arakis, E. Koudoumas and G. Kiria Kidis Phusics Peartment, University of Create, (2005).
- [7] S.Mandal, R.K.Singha, A.Dhar, S.K.Ray " optical and Structural Characteristics of ZnO thin films grown by rf magnetron sputtering materials Research Bulletin (2008).43,244-250,
- [8] Willian C. Dickinson, Paul N. Cheremisionoff, "Solar Energy Technology", Handbook Part A, p. 498, (1980).
- [9]J.I.Pankove,"OpticalProcesses in Semiconductors", Prentice-Hall, N. J, (1971).
- [10]K.L.Chopra.S.Major and D.K.pandya"Transparent Conductors-Astatus Review",Thin solid film vol(102)(1983)p(1-46).
- [11] S. O. Kasap, "Principles of Electronic Materials and Devices", 2nd Ed, McGraw-Hill, New York, (2002).
- [12]Wighert, Thomos,Kring,Thomos,Woff conference,condensed Matter,V185,N1-4,P279-307.Triste(1993).2nd Ed, McGraw-Hill, New York, (2002).
- [13] M.A Khashau.A.M. EL-Nagger,optics communications ,vol174,p.445(2000).
- [14] T.M.Kazykov , " Thin soild film "vol.64, p.301(1988).
- [15] S.Nakamura, A.Yamamoto, Sol. Energy MATER. Sol. Cells, vol.65(2001) 79.

شكل (1) حيود الاشعة السينية لاغشية ZnO

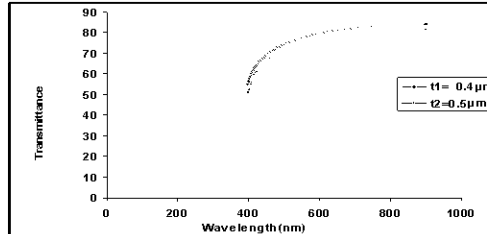
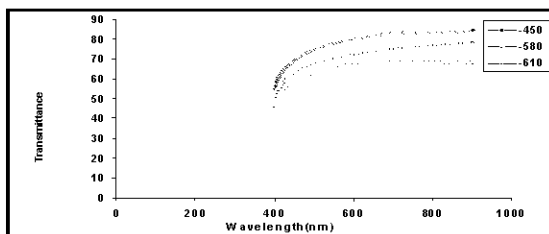


شكل (2) حيود الاشعة السينية لاغشية ZnO بسمك 0.5 μm شكل (3) حيود الاشعة السينية لاغشية ZnO بعد التلدين



شكل (4) تغيير الامتصاصية كدالة لطول الموجي السمك شكل (5) تغيير الامتصاصية كدالة لطول الموجي قبل وبعد التلدين

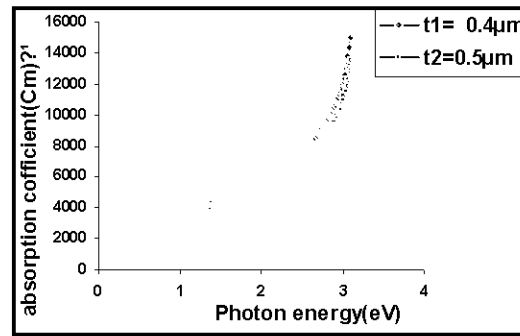
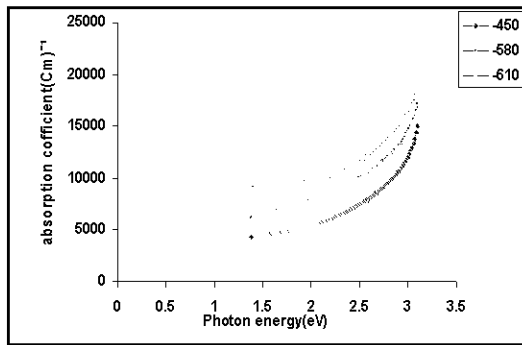
شكل (6) تغيير النفاذية كدالة لطول الموجي لمختلف السمك



شكل (7) تغيير النفاذية كدالة لطول الموجي قبل وبعد التلدين

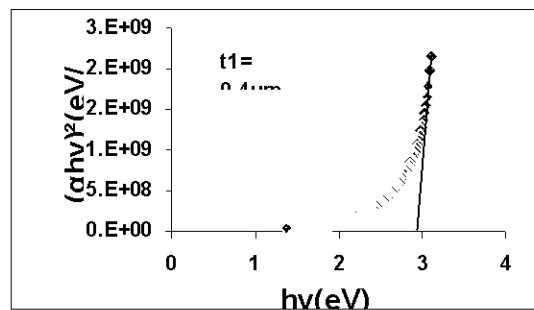
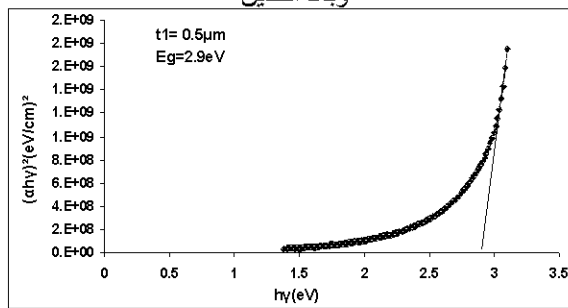
شكل (6) تغيير النفاذية كدالة لطول الموجي لمختلف السمك

تأثير السمك والتلدين على المعلمات البصرية لانتشية اوكسيد الزارصين المعضرة بطريقة التحلل الكيميائي الحراري امال احمد خلفه



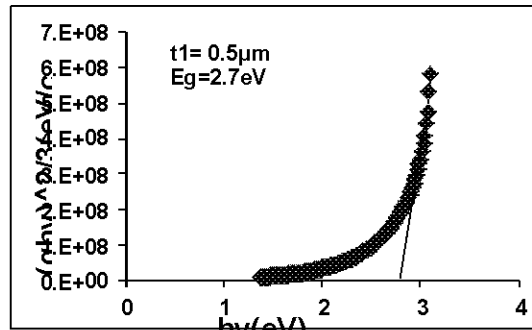
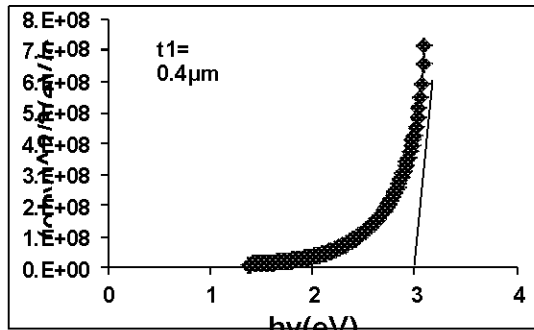
شكل (9) تغيير معامل الامتصاص كدالة لطاقة الفوتون قبل وبعد التلدين

شكل (8) تغيير معامل الامتصاص كدالة لطاقة الفوتون لمختلف السمك

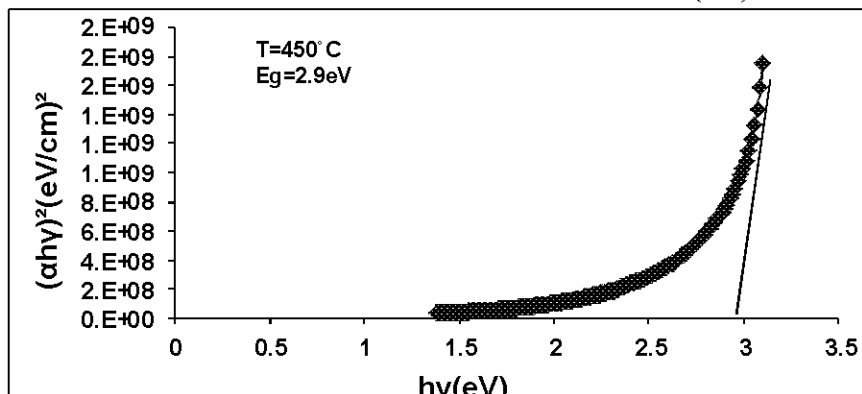


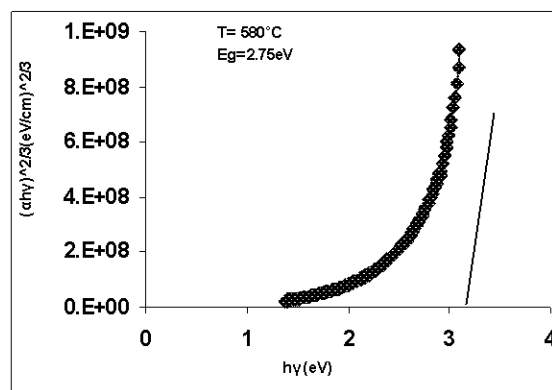
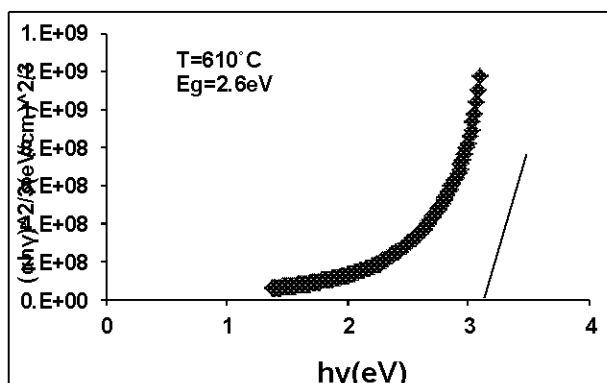
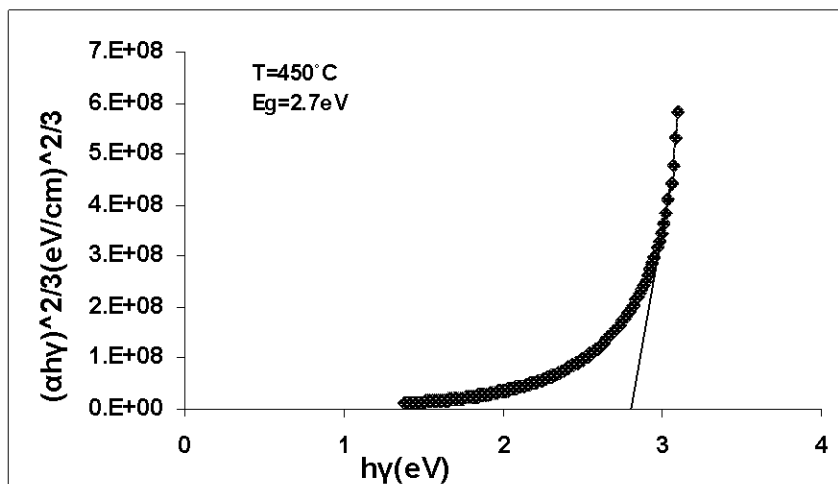
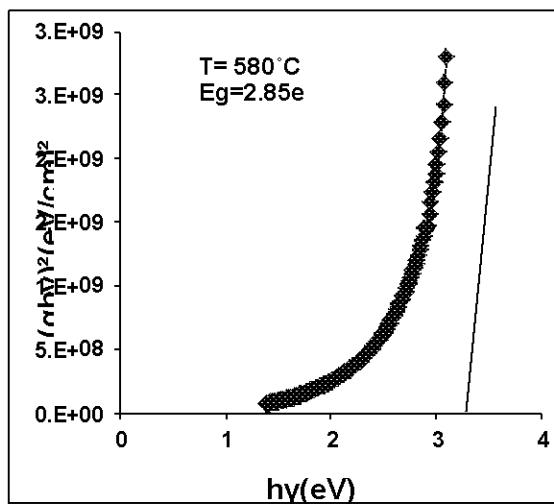
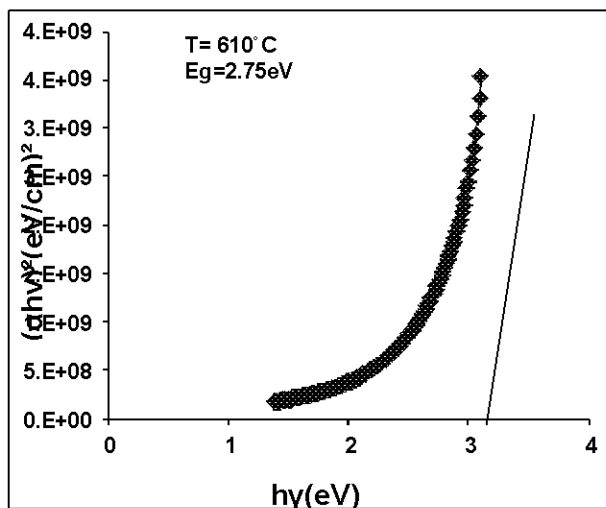
الانتقالات الالكترونية

شكل (10) الانتقالات المباشرة المسموحة لمختلف السمك

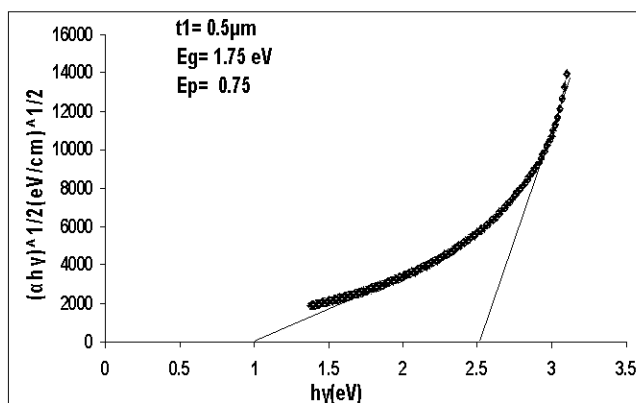


شكل (11) الانتقالات المباشرة المسموحة لمختلف درجات الحرارة

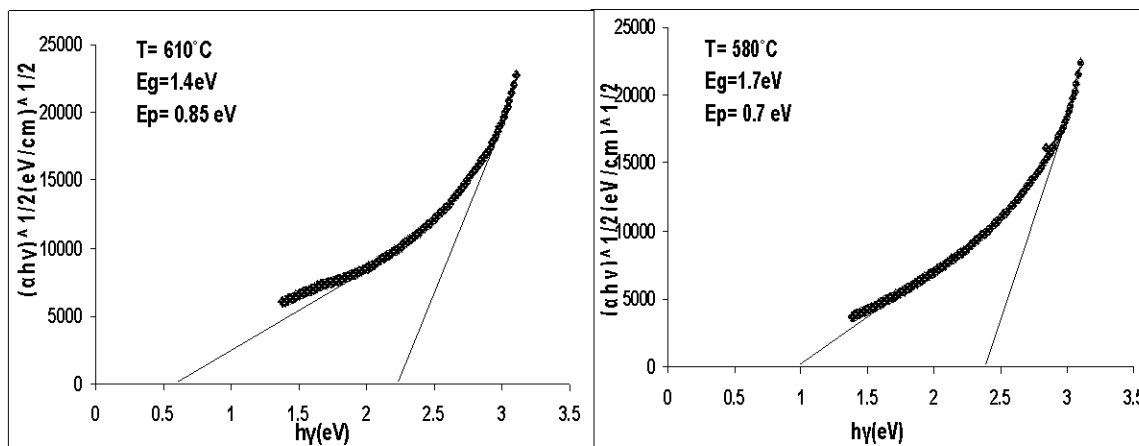
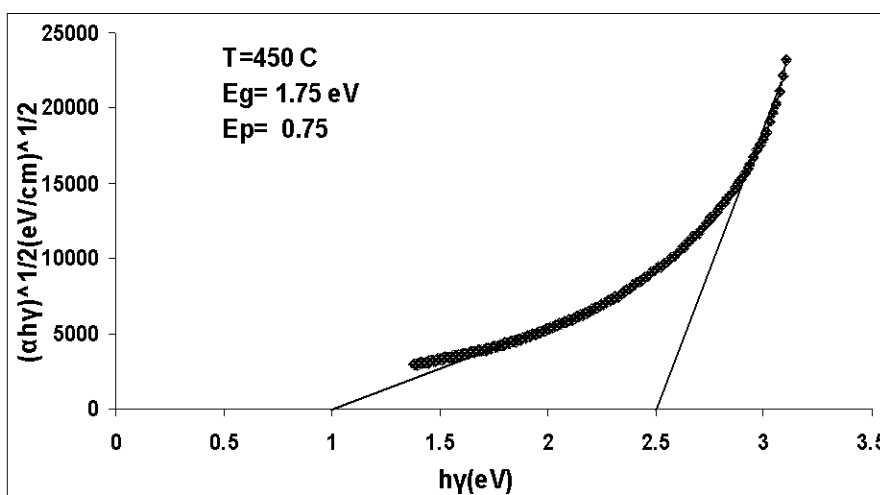




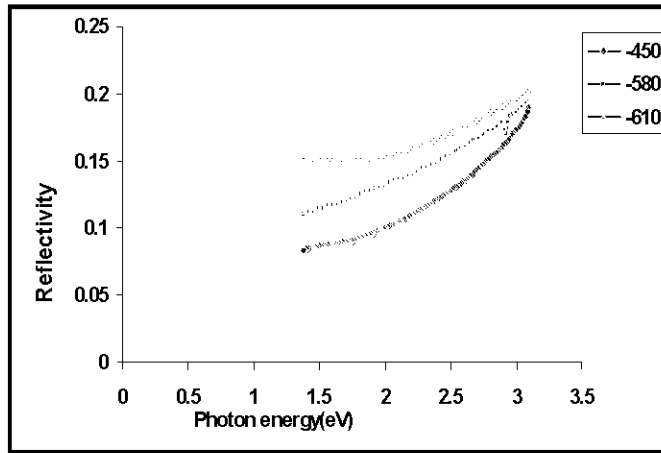
شكل (13) الانتقالات المباشرة ممنوعة لمختلف درجات حرارة



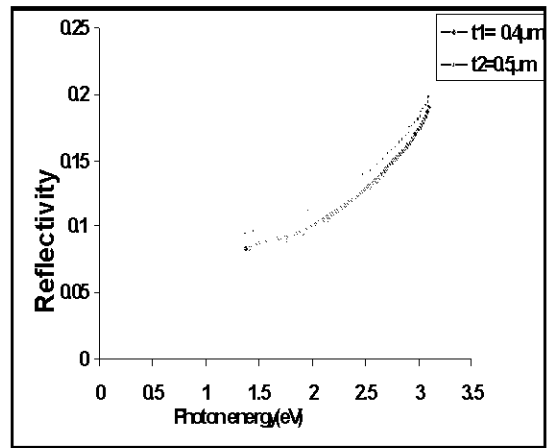
شكل (14) الانتقالات غير المباشرة المسموحة لمختلف السمك



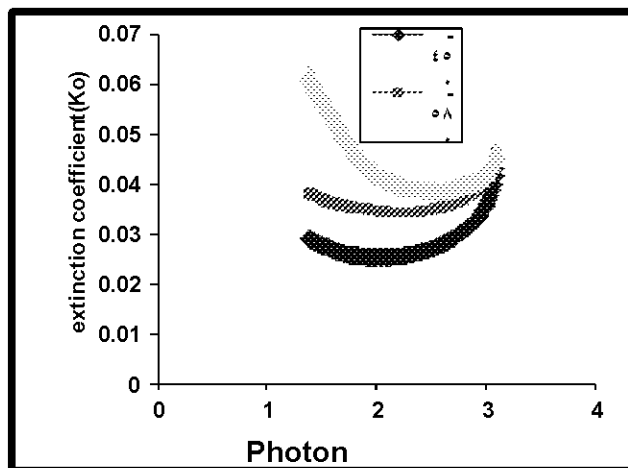
شكل (15) الانتقالات غير المباشرة المسموحة لمختلف درجات الحرارة



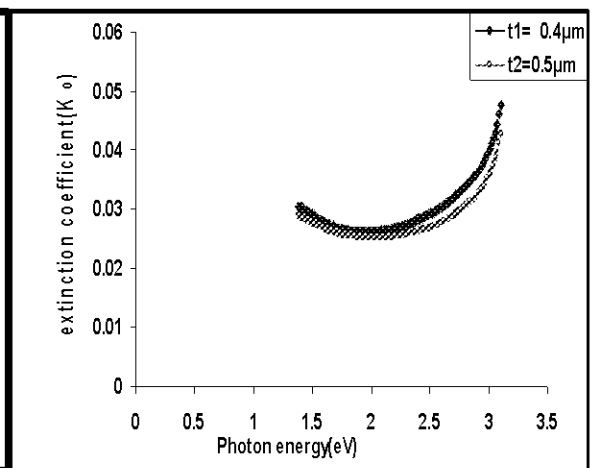
شكل (17) تغير الانعكاسية كدالة لطاقة الفوتون قبل وبعد التلدين



شكل (16) تغير الانعكاسية كدالة لطاقة الفوتون لمختلف السمك

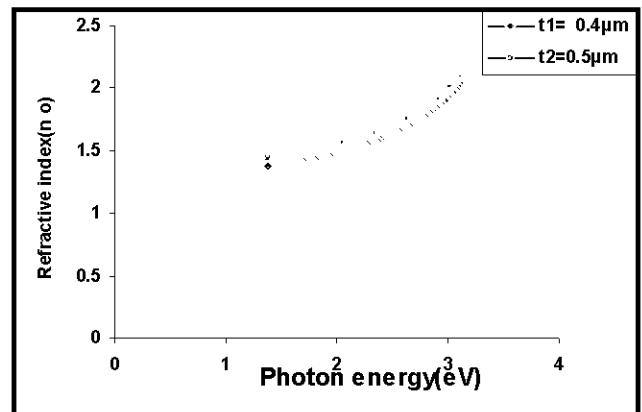
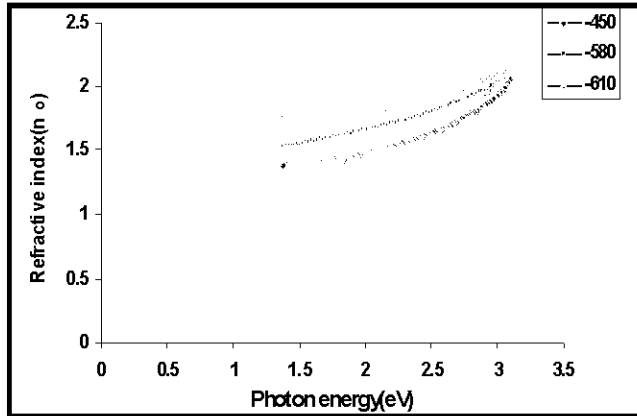


شكل (19) تغير معامل الخمود كدالة لطاقة الفوتون قبل وبعد التلدين

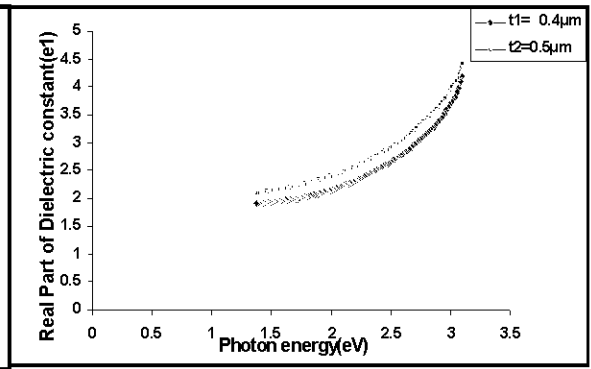
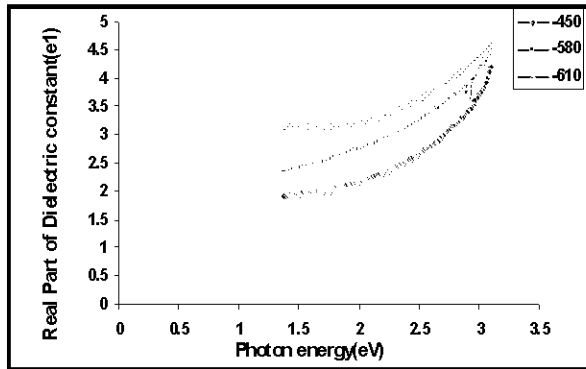


شكل (18) تغير معامل الخمود كدالة لطاقة الفوتون لمختلف السمك

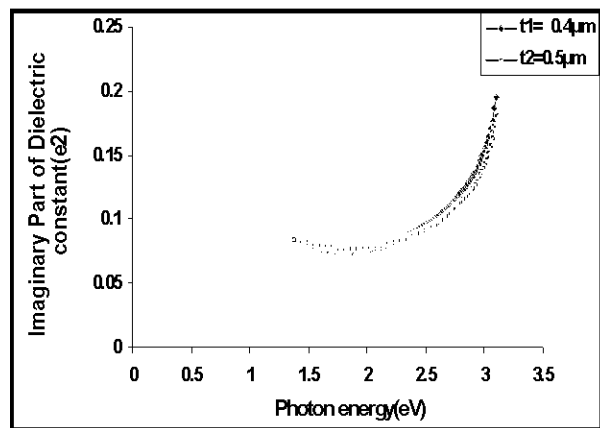
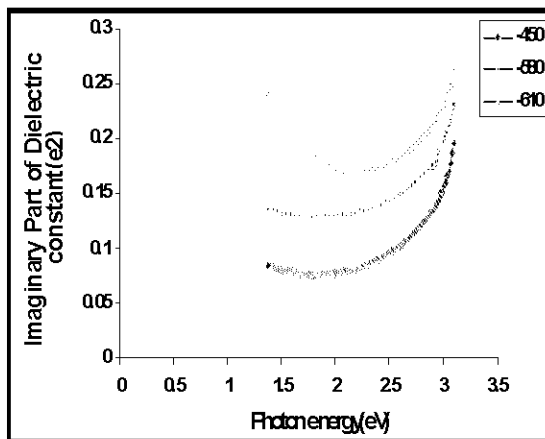
تأثير السمك والتلدين على المعلمات البصرية لانتشية اوكسيد الزرنيق المعضرة بطريقة التخلل الكيميائي الحراري امال احمد خلفه



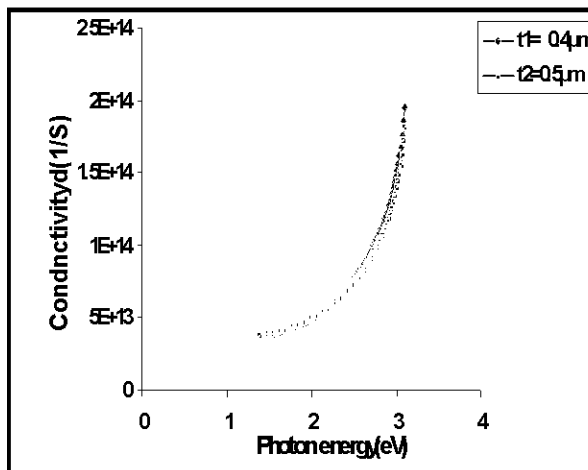
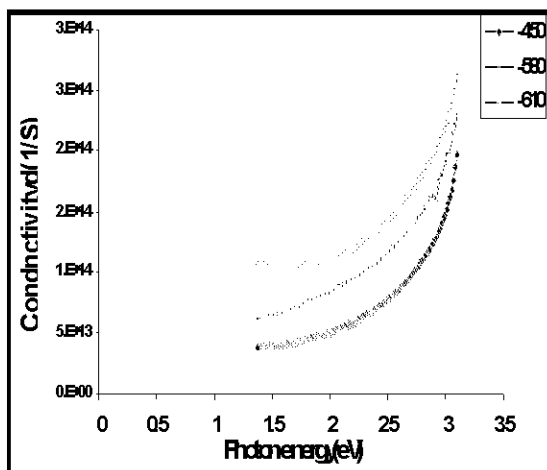
شكل (20) تغير معامل الانكسار كدالة لطاقة الفوتون لمختلف السمك
شكل (21) تغير معامل الانكسار كدالة لطاقة الفوتون قبل وبعد التلدين



شكل (22) تغير الجزء الحقيقي لثابت العزل كدالة لطاقة الفوتون لمختلف السمك
شكل (23) تغير الجزء الحقيقي لثابت العزل كدالة لطاقة الفوتون قبل وبعد التلدين



شكل (24) تغير الجزء الخيالي لثابت العزل كدالة لطاقة الفوتون لمختلف السمك
شكل (25) تغير الجزء الخيالي لثابت العزل كدالة لطاقة الفوتون قبل وبعد التلدين



شكل (26) تغير التوصيلية الضوئية كدالة لطاقة الفوتون لمختلف السمك
شكل (27) تغير التوصيلية الضوئية كدالة لطاقة الفوتون قبل وبعد التلدين

Abstract :-

Thin films of ZnO have been prepared on glass aborosilicute using chemical spray pyrolysis technique.

the optical constants are included recording of the absorptance and transmittance spectra for prepared films in range of wave lengths (400-900) nm .

The following optical constants have been calculated:

(absorption coefficient , Reflectance, extinction coefficient, refractive index, dielectric constant in its two parts, and conductivity).